

Eksamens i Ikkelineær dynamikk, fag TFY 4305

Fredag 3. desember 2004

Løsninger

- 1) Vi antar at $u(x, t) = e^{i(ax-bt)} \varphi(x - ct)$, og definerer $f(x, t) = e^{i(ax-bt)}$. Da er

$$\begin{aligned} u_t &= f_t \varphi + f \varphi_t = -ibf\varphi - cf\varphi' , \\ u_{xx} &= f_{xx} \varphi + 2f_x \varphi_x + f \varphi_{xx} = -a^2 f\varphi + 2iaf\varphi' + f\varphi'' . \end{aligned}$$

Siden φ forutsettes reell, er $|u|^2 = \varphi^2$. Vi setter inn i den kubiske Schrödingerligningen og forkorter bort f , det gir ligningen

$$b\varphi - ic\varphi' - a^2\varphi + 2ia\varphi' + \varphi'' + \varphi^3 = 0 .$$

Siden både a , b , c og φ forutsettes å være reelle (denne forutsetningen var dessverre ikke eksplisitt nevnt i oppgaveteksten), og siden ligningen har både en realdel og en imaginærdel, får vi to reelle ligninger som må oppfylles. Imaginærdelen av ligningen gir at $c = 2a$, mens realdelen gir at

$$\varphi'' + (b - a^2)\varphi + \varphi^3 = 0 .$$

Når vi multipliserer med φ' og integrerer, med en integrasjonskonstant E , får vi ligningen

$$\frac{1}{2}(\varphi')^2 + \frac{b-a^2}{2}\varphi^2 + \frac{1}{4}\varphi^4 = E .$$

Analogien med en partikkkel som har φ som koordinat, $\xi = x - ct = x - 2at$ som tidsvariabel og

$$V(\varphi) = \frac{b-a^2}{2}\varphi^2 + \frac{1}{4}\varphi^4 = E$$

som potensial, viser at når $b - a^2 < 0$, så gir $E = 0$ en løsning $\varphi(\xi)$ slik at $\varphi(\xi) \rightarrow 0$ for $\xi \rightarrow \pm\infty$. Da har nemlig $V(\varphi)$ et lokalt maksimum i $\varphi = 0$. Og $V(0) = 0$, slik at med $E = 0$ er partikkelen akkurat så vidt i stand til å nå $\varphi = 0$ når $\xi \rightarrow \pm\infty$.

- 2a) Vi innfører impulsen $p = \dot{x}$, slik at vi får skrevet ligningene på standard førsteordens form:

$$\begin{aligned} \dot{x} &= p , \\ \dot{p} &= -bp - kx - x^3 . \end{aligned}$$

Fikspunkt har vi når $\dot{x} = 0$ og $\dot{p} = 0$. Ligningen $\dot{x} = 0$ betyr at $p = 0$. Ligningen $\dot{p} = 0$ gir dermed ligningen

$$bp + kx + x^3 = x(k + x^2) = 0 .$$

Vi ser at $p = 0$, $x = 0$ alltid er et fikspunkt. Dersom $k < 0$ har vi dessuten de to fikspunktene $p = 0$, $x = \pm\sqrt{-k}$.

For å undersøke stabiliteten til et fikspunkt må vi finne egenverdiene til Jacobi-matrisen

$$A = \frac{\partial(\dot{x}, \dot{p})}{\partial(x, p)} = \begin{pmatrix} \frac{\partial \dot{x}}{\partial x} & \frac{\partial \dot{x}}{\partial p} \\ \frac{\partial \dot{p}}{\partial x} & \frac{\partial \dot{p}}{\partial p} \end{pmatrix} = \begin{pmatrix} 0 & 1 \\ -k - 3x^2 & -b \end{pmatrix}$$

i fikspunktet. Egenverdiene er røtter i egenverdiligningen

$$\lambda^2 + b\lambda + k + 3x^2 = 0,$$

de er altså

$$\lambda = \frac{-b \pm \sqrt{b^2 - 4(k + 3x^2)}}{2}.$$

I det ene fikspunktet er $x = 0$ og

$$\lambda = \frac{-b \pm \sqrt{b^2 - 4k}}{2}.$$

Hvis $b > 0$ og $k > 0$, så har begge egenverdiene negativ realdel, og da er dette fikspunktet stabilt. Det er et stabilt knutepunkt (med to negative reelle egenverdier) hvis $b > 2\sqrt{k}$, og en stabil spiral (det samme som et stabilt fokus, med to komplekse egenverdier) hvis $0 < b < 2\sqrt{k}$.

Hvis enten $b < 0$ eller $k < 0$, så har i hvert fall den ene egenverdien positiv realdel, og da er dette fikspunktet ustabilt. Det er et sadelpunkt (med to reelle egenverdier, en negativ og en positiv) hvis $k < 0$, et ustabilt knutepunkt (med to positive reelle egenverdier) hvis $b^2 > 4k > 0$, og en ustabil spiral (et ustabilt fokus, med to komplekse egenverdier) hvis $b^2 < 4k$.

Et marginalt tilfelle er $b = 0, k > 0$, da er begge egenverdiene rent imaginære (de har realdel lik null), og da er den lineære stabilitetsanalyesen utilstrekkelig. Da er systemet konservativt, i følge oppgave 2b), og fikspunktet er et senter.

Et annet marginalt tilfelle er $b > 0, k = 0$, da er fikspunktet stabilt, i følge energiargumentet i oppgave 2c).

For $k < 0$ finnes det altså to andre fikspunkt $x = \pm\sqrt{-k}$, og i begge de to fikspunktene er

$$\lambda = \frac{-b \pm \sqrt{b^2 + 8k}}{2}.$$

Hvis $b > 0$, så har begge disse egenverdiene negativ realdel, slik at begge fikspunktene er stabile. De er stabile knutepunkt (med to negative reelle egenverdier) hvis $-b^2 < 8k < 0$, og stabile spiraler (stabile fokus, med to komplekse egenverdier) hvis $8k < -b^2$.

Hvis $b < 0$, så har begge egenverdiene positiv realdel, og de to fikspunktene er ustabile. Enten ustabile knutepunkt (med to positive reelle egenverdier) hvis $-b^2 < 8k < 0$, eller ustabile spiraler (ustabile fokus, med to komplekse egenverdier) hvis $8k < -b^2$.

I det marginale tilfellet $b = 0$ er igjen begge egenverdiene rent imaginære, og systemet er konservativt, slik at de to fikspunktene er sentre.

Vi kan holde b fast og variere k . Ved $k = 0$ skjer det da en høygaffelbifurkasjon (engelsk: pitchfork bifurcation) av fikspunktet $x = 0, p = 0$. Fikspunktet forandrer stabilitet ved at en av de to reelle egenverdiene til Jacobi-matrisen skifter fortegn. Hvis $b > 0$, er dette

fikspunktet stabilt for $k > 0$ og ustabilt for $k < 0$, ved $k = 0$ oppstår det to nye stabile fikspunkt symmetrisk om $x = 0$. Dette er en superkritisk høygaffelbifurkasjon.

Hvis $b < 0$, har vi i stedet ett ustabilt fikspunkt $x = 0$ for $k > 0$, og tre ustabile fikspunkt $x = 0$ og $x = \pm\sqrt{-k}$ for $k < 0$.

Omvendt kan vi holde k fast og variere b . Ved $b = 0$, dersom $k > 0$, skjer det da en degenerert Hopf-bifurkasjon av fikspunktet $p = 0, x = 0$, der de to egenverdiene til Jacobi-matrisen blir rent imaginære. Det er en *degenerert* Hopf-bifurkasjon, fordi det ikke finnes noen grensesykler hverken for $b > 0$ eller $b < 0$, derimot er systemet konservativt for $b = 0$, slik at fikspunktet er et senter.

Ved $b = 0$, dersom $k < 0$, skjer det en degenerert Hopf-bifurkasjon av hvert av fiks punktene $p = 0, x = \pm\sqrt{-k}$.

2b) Den tidsderiverte av energien

$$E = \frac{1}{2} \dot{x}^2 + \frac{k}{2} x^2 + \frac{1}{4} x^4$$

er

$$\dot{E} = (\ddot{x} + kx + x^3)\dot{x} = -b\dot{x}^2 = -bp^2 .$$

Dersom $b = 0$, er altså $\dot{E} = 0$, og E er bevart..

2c) Dersom $b > 0$, er $\dot{E} = -b\dot{x}^2 = -bp^2 \leq 0$.

Da er altså E nesten en Lyapunov-funksjon. I følge definisjonen skulle E ha følgende egenskaper for å være en Lyapunov-funksjon:

- $E > 0$ overalt unntatt i ett eneste fikspunkt, der $E = 0$;
- $\dot{E} < 0$ overalt unntatt i det samme fikspunktet.

Den første betingelsen er oppfylt dersom $k \geq 0$. Den er bare nesten oppfylt dersom $k < 0$, da har vi at $E = 0$ i fikspunktet $p = 0, x = 0$, men minimumspunktene til E er de to fikspunktene $p = 0, x = \pm\sqrt{-k}$, og der er

$$E = -\frac{k^2}{4} < 0 .$$

At minimumsverdien ikke er lik 0, spiller selvfølgelig ingen rolle, det kan vi rette på ved å trekke fra E den konstante minimumsverdien. At funksjonen har to minimumspunkt i stedet for ett, er en mer vesentlig forskjell. Det betyr at det finnes mer enn ett stabilt fikspunkt som oscillatoren har mulighet til å ende opp i.

Den andre betingelsen er også nesten oppfylt dersom $b > 0$: vi har at $\dot{E} < 0$ unntatt for $p = 0$. Men hvis $p = 0$ ved ett tidspunkt, og oscillatoren ikke befinner seg i et fikspunkt, vil $\dot{p} \neq 0$, slik at vi har $\dot{E} < 0$ både før og etter dette ene tidspunktet.

Eksistensen av en slik «nesten-Lyapunov-funksjon» impliserer at for $b > 0$ og $k \geq 0$ er $p = 0, x = 0$ et globalt stabilt fikspunkt.

For $b > 0$ og $k < 0$ finnes det tre fikspunkt $p = 0, x = 0$ og $p = 0, x = \pm\sqrt{-k}$ som oscillatoren kan ende opp i.

Det ene fikspunktet $p = 0, x = 0$ er ustabilt, og for å treffe det, må vi velge initialverdier for x og p nøyaktig på den stabile mangfoldigheten til dette fikspunktet.

De to andre fikspunktene er stabile, og de er globalt stabile, i den forstand at oscillatoren vil treffe ett av dem til slutt, unntatt i det marginale tilfellet at den treffer det ustabile fikspunktet $p = 0, x = 0$.

3a) Ligningene

$$\begin{aligned}x_{n+1} &= 1 + y_n - ax_n^2, \\y_{n+1} &= bx_n,\end{aligned}$$

er enkle å løse med hensyn på x_n og y_n . Først finner vi

$$x_n = \frac{y_{n+1}}{b},$$

og deretter

$$y_n = x_{n+1} - 1 + ax_n^2 = x_{n+1} - 1 + \frac{ay_{n+1}^2}{b^2}.$$

3b) Ved en todimensjonal avbildning multipliseres et infinitesimalt areal med (absoluttverdien av) determinanten til Jacobi-matrisen

$$A = \begin{pmatrix} -2ax_n & 1 \\ b & 0 \end{pmatrix}.$$

Vi ser at $\det A = -b$ = konstant, altså multipliseres ethvert infinitesimalt eller endelig areal med $|b|$ (i vårt tilfelle er $|b| = b$).

Altså er Hénon-avbildningen arealbevarende for $b = \pm 1$.

3c) Det er enklest å bruke rekursjonsformelen for x ,

$$x_{n+1} = 1 + bx_{n-1} - ax_n^2.$$

For et fikspunkt (x, y) gjelder at

$$x = 1 + bx - ax^2.$$

Og de to løsningene er

$$x_{\pm} = \frac{b - 1 \pm \sqrt{(b - 1)^2 + 4a}}{2a}.$$

De tilhørende y -verdiene er $y_+ = bx_+$ og $y_- = bx_-$.

3d) Stabiliteten til et fikspunkt (x, y) bestemmes av egenverdiene

$$\lambda = -ax \pm \sqrt{a^2x^2 + b}$$

til Jacobi-matrisen A i fikspunktet. Betingelsen for stabilitet er at begge egenverdiene oppfyller ulikheten $|\lambda| < 1$. Det er selvfølgelig nok å se på den egenverdien som har størst absoluttverdi.

Hvis vi tar for oss først tilfellet

$$x = x_- = \frac{b - 1 - \sqrt{(b - 1)^2 + 4a}}{2a} < 0,$$

så er det nødvendig og tilstrekkelig for stabilitet at

$$-ax + \sqrt{a^2x^2 + b} < 1 ,$$

det vil si at

$$\sqrt{a^2x^2 + b} < 1 + ax .$$

Det er da nødvendig at $|ax| < 1$. I så fall kan vi kvadrere den siste ulikheten, og få at

$$a^2x^2 + b < 1 + 2ax + a^2x^2 ,$$

som er det samme som at

$$b < 1 + 2ax = 1 + 2a \frac{b - 1 - \sqrt{(b - 1)^2 + 4a}}{2a} = b - \sqrt{(b - 1)^2 + 4a} .$$

Denne ulikheten er umulig å oppfylle, det viser at fikspunktet (x_-, y_-) er ustabilt.

Så gjelder det tilfellet

$$x = x_+ = \frac{b - 1 + \sqrt{(b - 1)^2 + 4a}}{2a} > 0 .$$

Her er det nødvendig og tilstrekkelig for stabilitet at

$$-ax - \sqrt{a^2x^2 + b} > -1 ,$$

det vil si at

$$\sqrt{a^2x^2 + b} < 1 - ax .$$

Det er da igjen nødvendig at $|ax| < 1$. I så fall kan vi kvadrere den siste ulikheten, og få at

$$b < 1 - 2ax = 1 - 2a \frac{b - 1 + \sqrt{(b - 1)^2 + 4a}}{2a} = 2 - b - \sqrt{(b - 1)^2 + 4a} .$$

Vi skriver om denne ulikheten slik:

$$\sqrt{(b - 1)^2 + 4a} < 2(1 - b) .$$

Den kan ikke oppfylles uten at $b < 1$. Under forutsetning av at $b < 1$ kan vi kvadrere ulikheten ovenfor, og få ulikheten

$$4a < 3(b - 1)^2 .$$

Men hva med ulikheten $ax < 1$, som vi brukte underveis? Vi har at

$$\begin{aligned} ax &= ax_+ = \frac{b - 1 + \sqrt{(b - 1)^2 + 4a}}{2} < \frac{b - 1 + \sqrt{(b - 1)^2 + 3(b - 1)^2}}{2} \\ &= \frac{b - 1 + 2|b - 1|}{2} = \frac{b - 1 - 2(b - 1)}{2} = \frac{1 - b}{2} < \frac{1}{2} . \end{aligned}$$

Det viser at ulikheten $ax < 1$ automatisk er oppfylt når $4a < 3(b - 1)^2$, og ikke gir noen ekstra betingelser.

Konklusjon: Fikspunktet (x_-, y_-) er alltid ustabilt. Fikspunktet (x_+, y_+) er stabilt for $b < 1$ og $4a < 3(b - 1)^2$, og ustabilt ellers.

Bifurkasjonen som skjer ved $4a = 3(b - 1)^2$ er en flipp-bifurkasjon, idet den kritiske egenverdien er $\lambda = -1$. Vi vil følgelig vente å finne at det oppstår en stabil to-syklus i bifurkasjonen.

- 3e) For å finne to-syklusen er det igjen enklest å bruke rekursjonsformelen

$$x_{n+1} = 1 + bx_{n-1} - ax_n^2.$$

Her skal vi nå få fram en følge av formen $x_1, x_2, x_1, x_2, x_1, \dots$. Altså skal

$$\begin{aligned} x_2 &= 1 + bx_2 - ax_1^2, \\ x_1 &= 1 + bx_1 - ax_2^2. \end{aligned}$$

Vi trekker den ene ligningen fra den andre, og får at

$$(1 - b)(x_1 - x_2) = a(x_1^2 - x_2^2) = a(x_1 - x_2)(x_1 + x_2).$$

For en to-syklus skal $x_1 \neq x_2$, slik at vi får som betingelse at

$$x_1 + x_2 = \frac{1 - b}{a}.$$

Vi legger sammen ligningene, og får at

$$(1 - b)(x_1 + x_2) = 2 - a(x_1^2 + x_2^2) = 2 - \frac{a}{2} \left((x_1 + x_2)^2 + (x_1 - x_2)^2 \right).$$

Vi setter inn for $x_1 + x_2$, og får at

$$\frac{a}{2} (x_1 - x_2)^2 = 2 - \frac{3(1 - b)^2}{2a}.$$

Som vil si at

$$|x_1 - x_2| = \frac{\sqrt{4a - 3(b - 1)^2}}{a}.$$

Vi ser at to-syklusen eksisterer når $4a > 3(b - 1)^2$. Den oppstår altså samtidig med at fikspunktet (x_+, y_+) blir ustabilt.

Punktene i to-syklusen er $(x_1, y_1) = (x_1, bx_2)$ og $(x_2, y_2) = (x_2, bx_1)$, og x -verdiene er

$$x_{1,2} = \frac{x_1 + x_2 \pm |x_1 - x_2|}{2} = \frac{1 - b \pm \sqrt{4a - 3(b - 1)^2}}{2a}.$$

For de kritiske parameterverdiene $4a = 3(b - 1)^2$ er

$$x_1 = x_2 = \frac{1 - b}{2a}.$$

To-syklusen faller da sammen med fikspunktet (x_+, y_+) , siden

$$\begin{aligned} x_+ &= \frac{b-1 + \sqrt{(b-1)^2 + 4a}}{2a} = \frac{b-1 + \sqrt{(b-1)^2 + 3(b-1)^2}}{2a} \\ &= \frac{b-1 + 2(1-b)}{2a} = \frac{1-b}{2a}. \end{aligned}$$

Det bekrefter at fikspunktet (x_+, y_+) blir ustabilt ved periodedobling.

Vi burde sjekke at to-syklusen er stabil med det samme den oppstår, men så langt går vi ikke her.

- 3f) Arealet multipliseres med $|b| = 0,3$, altså vil en figur med areal 1,48 avbildes på en figur med areal $0,3 \times 1,48 = 0,444$.

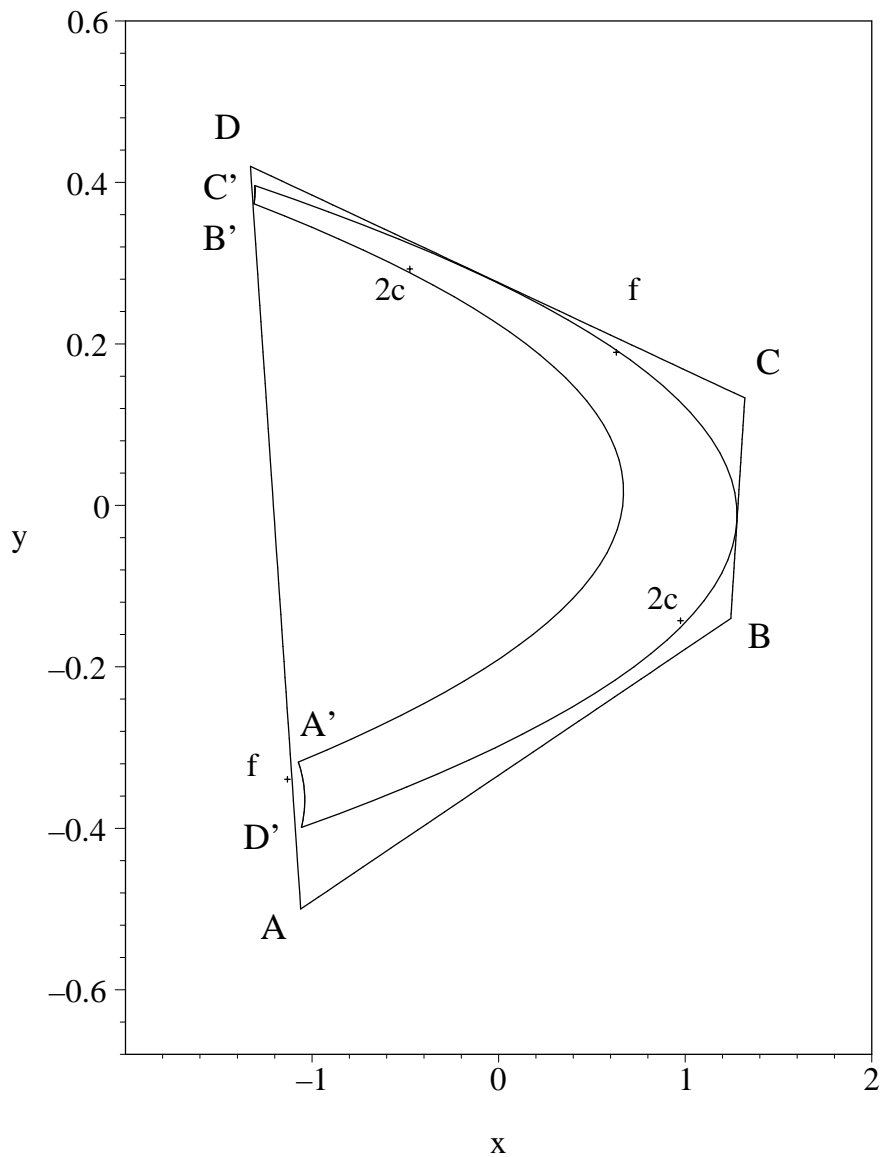
Figur 1 viser punktene A' , B' , C' og D' som punktene A , B , C og D avbildes over på. Ved siden av at det selvfølgelig er mulig å regne seg fram til svaret, er det mulig å resonnere seg fram, uten regning. De rette linjene som utgjør sidene i firkanten $ABCD$, avbildes over på parabler. De fire hjørnene er knekkpunkter på omkretsen til firkanten, og blir derfor også knekkpunkter på omkretsen til den figuren $A'B'C'D'$ som firkanten avbildes på. Punktene $ABCD$ følger etter hverandre når vi går rundt firkanten i retning *mot* urviseren. At determinanten til Jacobi-matrisen er negativ, betyr at Hénon-avbildningen er en speiling, derfor må punktene $A'B'C'D'$ følge etter hverandre i retning *med* urviseren. Hvis vi altså kan lokalisere det ene punktet, for eksempel A' , vet vi dermed hvor de tre andre er. Nøkkelen her er at det ligger et fikspunkt nær det rette linjestykket AD , og et annet fikspunkt nær det rette linjestykket CD . Derfor må linjestykket AD avbildes over på en parabelbue $A'D'$ som ligger nær det første fikspunktet, og linjestykket CD må avbildes over på en parabelbue $C'D'$ som ligger nær det andre fikspunktet.

Den bizarre attraktoren i Hénon-avbildningen med disse parameterverdiene oppstår ved folding, samtidig med strekking i den ene retningen (og sammentrykking i den andre retningen for at volumet skal reduseres). Figur 1 viser firkanten $ABCD$ og det første stadiet i deformeringen av den. Figur 2 viser det andre stadiet i deformeringen. Hver iterasjon av avbildningen dobler antallet «armer». Når den samme prosessen er gjentatt uendelig mange ganger, står vi igjen med en bisarr attraktor. I et vilkårlig punkt er den en glatt kurve i en bestemt retning, mens et snitt gjennom attraktoren i enhver annen retning er en Cantor-mengde.

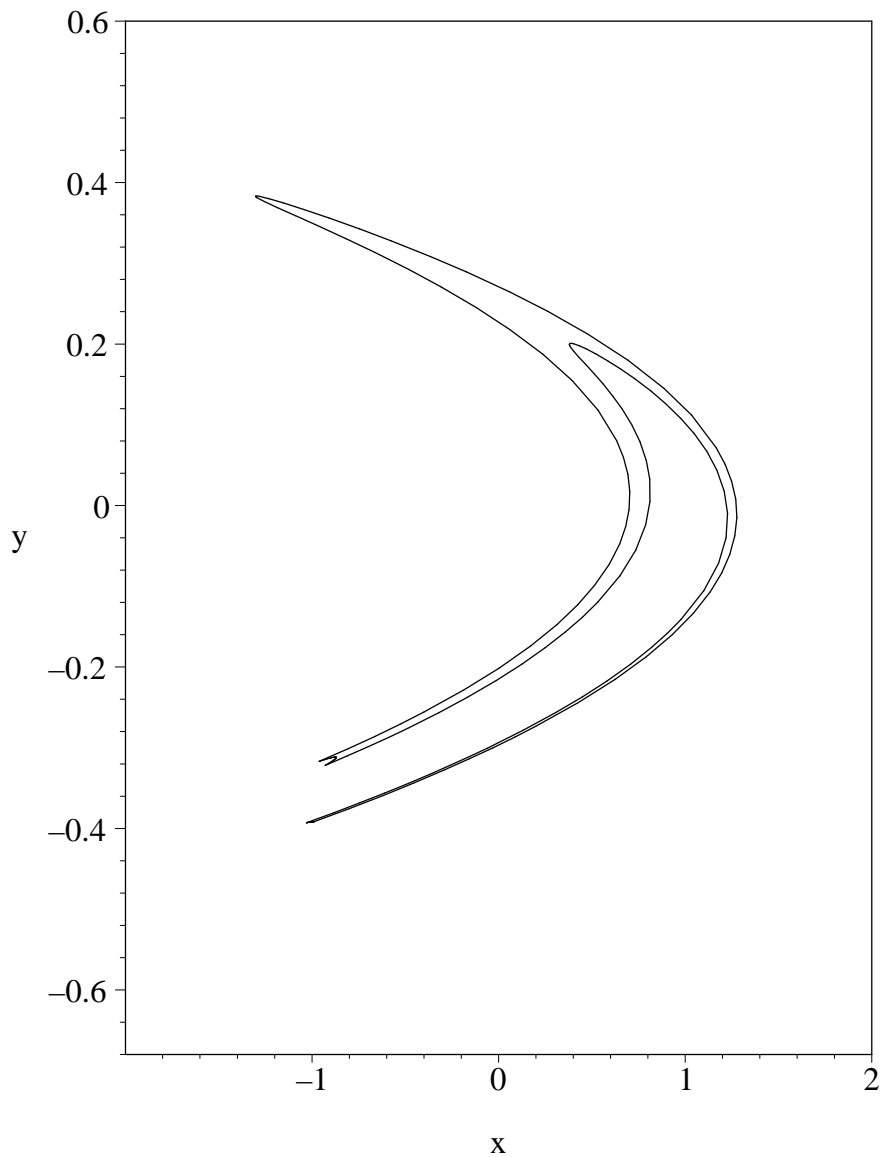
Punktene i to-syklusen har x -koordinatene

$$x_{1,2} = \frac{1-b \pm \sqrt{4a - 3(b-1)^2}}{2a} = \frac{0,7 \pm \sqrt{4,13}}{2,8} = \begin{cases} 0,9758, \\ -0,4758. \end{cases}$$

og y -koordinatene $y_1 = bx_2 = -0,1427$ og $y_2 = bx_1 = 0,2927$.



Figur 1: Hjørnene A, B, C og D i firkanten ABCD avbildes over på hjørnene A', B', C' og D' i den figuren som er bildet av ABCD ved Hénon-avbildningen. Parameterverdier: $a = 1,4$, $b = 0,3$. To fikspunkt er markert med symbolet "+" og bokstaven "f". Punktene i to-syklusen er markert med symbolet "+" og teksten "2c".



Figur 2: Bildet av firkanten ABCD etter at den har vært igjennom Hénon-avbildningen to ganger. Parameterverdier: $a = 1,4$, $b = 0,3$.